

Ba - Al - O

(Барий алюминаты)

Ba - Al - O

Ваз Ал<sub>2</sub>О<sub>3</sub>  
Горюнов Н.А.

1935

Образование  
ДАН ССР, т. 1, № 2-3 (1935г)

[В работе установлены кроме  $\text{BaO} \cdot \text{Al}_2\text{O}_3$   
ещё 2 соединения:

3.  $\text{BaO} \cdot \text{Al}_2\text{O}_3$  и — р-рима в  $\text{H}_2\text{O}$  и  
сильно гидролизуются

$\text{BaO} \cdot 6\text{Al}_2\text{O}_3$  — не растворима ни в воде,  
ни в соляной к-те.

IX 2444

1947

$BaSO_4, BaO \cdot Al_2O_3$  (кр,  $\Delta H, \Delta S$ )

$BaO \cdot Al_2O_3$  ( $\Delta H_f, S$ )

Августин<sup>ук</sup> А. И., Медзев-Петросено. П.

Ж. с. пресе. химии, 1947, 20, 584-90

М

Л. с., 1948, 2504 f

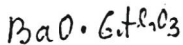
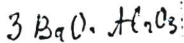
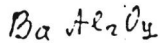
Ba Al<sub>2</sub>O<sub>4</sub> adp. CPB - IX - 1538 . 1951

(SHF) Peppeler R.B., Newman E.S.

BaO J. Res. NBS, 1951, v. 47, no. 6, 439-442

Heats of formation of some barium  
aluminates.

	Heat of solution <sup>Kcal/mole</sup>	$\Delta H_f$ us otkuda	$\Delta H_f$ us zimeyina
BaO	-419.1		
Al <sub>2</sub> O <sub>3</sub>	-588.1		
BaO · Al <sub>2</sub> O <sub>3</sub>	-393.6 ± 0.2	-23.99	-556.5
3BaO · Al <sub>2</sub> O <sub>3</sub>	-370.6 ± 0.3	<del>-23.99</del> -44.96	<del>-556.5</del> -844.2

СРВ-ТХ - 28051952

Торонев Н.А., Галахов с.р.д.

ДАН СССР, 1952, т. 82, № с. 69 - 70

Диаграмма состояния системы  
 $BaO - Al_2O_3$ 

[Кельдыш]	$T_m$ для	Эвтектика:
$3BaO \cdot Al_2O_3$	$1750^\circ C \pm 30^\circ C$	$1660^\circ C$
$BaO \cdot Al_2O_3$	$1830^\circ C \pm 30^\circ C$	$1710^\circ C$
$BaO \cdot 6Al_2O_3$	$1900 \pm 30^\circ C$	$1790^\circ C$
$Al_2O_3$		$1890^\circ C$



IX 2805

495d

3BaO · Al<sub>2</sub>O<sub>3</sub>; BaO · Al<sub>2</sub>O<sub>3</sub>; BaO · 6H<sub>2</sub>O

(Tm);

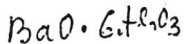
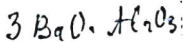
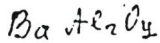
Порохов Н. П., Валашов С. В.,

Докл. АН СССР, 1952, 82, 69-70

ЕСТЬ Ф. К.

СЛ. 1952, 8494d

$\text{BaAl}_2\text{O}_4$	$1815^\circ\text{C}$	$2088\text{K}$
$\text{Ba}_3\text{Al}_2\text{O}_6$	$1620^\circ\text{C}$	$1893\text{K}$
$\text{BaAl}_2\text{O}_9$	$1915^\circ\text{C}$	$2188\text{K}$

СРВ-IX - 2805

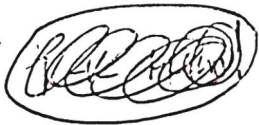
1952

Таронца Н.А., Галахов С.Г.

ДАН СССР, 1952, т. 82, № 1, с. 69 - 70

Диаграмма состояния системы  
 $BaO - Al_2O_3$ 

[Кельдыш]	$T_m$ $\alpha/\beta$	структура:
		1660°C
$3BaO \cdot Al_2O_3$	1750°C ± 30°C	1710°C
$\cdot BaO \cdot Al_2O_3$	1830°C ± 30°C	1790°C
$BaO \cdot 6Al_2O_3$	1900 ± 30°C	1890°C
$Al_2O_3$		



A-1534

1957

Ca, Sr, Ba (P),

$BaO \cdot Al_2O_3$ ,  $SrO \cdot Al_2O_3$ ,

$3CaO \cdot Al_2O_3$  (Kp,  $\Delta H$ ,  $\Delta S$ ,  $\Delta Z$ )

CaO, BaO, SrO тв. ( $\Delta H$ ,  $\Delta S$ , Kp)

Муковецкий В. В.;

Тр. Сев.-Кавказск. горнометаллург. ит.

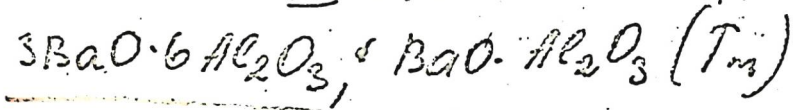
1957, вып. 15, 210-231

М. Б.

РЖХ, 1958, №22, 73196

IX 1576

1960



Wert 6,

Rader, Rundschau, 1960, 14, 198-202

P.K., 1961, 215312

5

Бер-2550-IX

1961

BaO. Al<sub>2</sub>O<sub>3</sub>

Загородин Л.Л.

От. 42332

-27,3 ± 1,4

-561,2 ± 1,9

кварц/мел

Материал 3-й Конгресс.  
конференции асфиратов.  
Воскреск. ун-т., Ростов-на  
Дону, 1961, 174.

О методе обработки  
алюминатных и силикатных  
соединений и бария.

X. 1964. 125 398

Ваш. № 03

Ом. 42332 /  
ВФ - 2550 - IX

1961

Традовцев А.А. (

Материал 3-й кассы, конф. сессии в  
Ростовского - на - Дону ун - та,  
1961, с. 174

BaAl<sub>2</sub>O<sub>4</sub>

Om. 42332

Box 2550 IX

1961

Gradobur A.A.

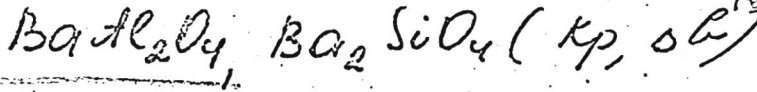
$\Delta H_{f,298} = -27.3 \pm 1.4$  <sup>из окислов</sup>  $-561.2 \pm 1.9$  <sup>из элементов</sup> ккал/моль

(см. CaAl<sub>2</sub>O<sub>4</sub>)

с. 174

IX 253#

110d  
1962



Звездинский Г. Г., Малоблины-  
Вилии Н. П.,

Метасурр. институт. тролесб. Сакар  
вело СЕР Межмередато. Надежа,

Тр. УИ-та метасуррени. АН Груз  
СЕР, 1962 (1963), 13, 144

Р.М., 1963, 12#80

М

Ва -

Алюминаты

№ 12 В28. Исследование алюминатов бария.

Edouard, Thibon Hoppe, Dozouf

Contribution à l'étude des aluminates of baryu  
Soc. chim. France», 1964, № 8, 1915—1916 (фр.)

Предпринята попытка получения различных  
тов бария. Из р-ра  $AlCl_3$  и  $BaCl_2$  при т-ре  
ным р-ром  $(NH_4)_2CO_3$  осаждается смесь д  
 $Al(OH)_3$  (I) +  $BaCO_3$  (II) и I+2II. После

и высушивания при  $100^\circ$  смесь I+II прокаливали в  
электрич. печи при т-ре  $1200^\circ$ , а смесь I+2II — при т-рах  
 $1200, 1300, 1500^\circ$ , в результате чего получают по дан-  
ным хим. анализа, соответственно  $Al_2O_3 \cdot BaO$  (III) и  
 $Al_2O_3 \cdot 2BaO$  (IV). Однако анализ дебаеграмм показал,  
что в 1-м случае получается III, а во 2-м получается III  
с примесью аморфного BaO. Попытка получить IV де-  
гидратацией при  $550^\circ$   $Al_2O_3 \cdot 2BaO \cdot (4-5)H_2O$  привела  
также к получению III.

Н. Лейтес

1964

г. 1965. 12

1965

23 Б256. Атомные параметры  $BaAl_2O_4$  и изучение твердых растворов  $BaFe_xAl_{2-x}O_4$  и  $BaGa_xAl_{2-x}O_4$ . Do Dinh C., Bertaut E. - F. Paramètres atomiques de  $BaAl_2O_4$  et études des solutions solides  $BaFe_xAl_{2-x}O_4$  et  $BaGa_xAl_{2-x}O_4$ . «Bull. Soc. franç. mineral. et cristallogr.», 1965, 88, № 3, 413—416 (франц.)

$BaAl_2O_4$

Нейтроннографически уточнены параметры атомов O в структуре  $BaAl_2O_4$ . Подтверждена ранее описанная модель структуры (Wallmark S., Westgren A., Ark. Kemi. Mineral. Geol. Sverige, 12B, 11). Получены и исследованы рентгенографически тв. р-ры  $BaFe_xAl_{2-x}O_4$  и  $BaGa_xAl_{2-x}O_4$ . Тв. р-ры с Ga существуют во всем интервале составов и параметры решетки меняются линейно от  $a$  5,227,  $c$  8,802Å для  $x=0$  до  $a$  5,336,  $c$  9,024Å для  $x=2$ . Соединение  $BaFe_xAl_{2-x}O_4$  образует тв. р-ры типа  $BaAl_2O_4$  с  $x$  (макс.) = 1,8, при этом предельные параметры решетки:  $a$  5,402,  $c$  9,050Å. При  $x > 1,8$  в системе  $BaFe_xAl_{2-x}O_4$  существуют тв. р-ры со структурой типа  $BaFe_2O_4$ , представляющей собой деформированную структуру типа  $BaAl_2O_4$ .  
А. Борина

стр-ра

X. 1966.23

Ba - алюминаты

1965

Алюминаты

Barium aluminates and barium aluminate hydrates. E. Thilo and W. Gessner (Deut. Akad. Wiss., Berlin). *Z. Anorg. Allgem. Chem.* 337(5-6), 238-53(1965)(Ger). Ba aluminates were prepd. by the reaction of  $\text{Ba}(\text{OH})_2 \cdot 8\text{H}_2\text{O}$  on freshly pptd. hydrous alumina gel and by the reaction of 0.5M  $\text{NaAlO}_2$  with concd. Ba salt solns. followed by drying at various temps. and  $\text{H}_2\text{O}$  pressures. The existence of the following compds. was verified:  $\text{BaO} \cdot \text{Al}_2\text{O}_3$ ,  $3\text{BaO} \cdot \text{Al}_2\text{O}_3$ ,  $\text{BaO} \cdot \text{Al}_2\text{O}_3 \cdot 7\text{H}_2\text{O}$ ,  $\sim 1.1\text{BaO} \cdot \text{Al}_2\text{O}_3 \cdot \sim 6\text{H}_2\text{O}$ ,  $\alpha\text{-BaO} \cdot \text{Al}_2\text{O}_3 \cdot 4\text{H}_2\text{O}$ ,  $\alpha\text{-BaO} \cdot \text{Al}_2\text{O}_3 \cdot 2\text{H}_2\text{O}$ ,  $\sim 1.1\text{BaO} \cdot \text{Al}_2\text{O}_3 \cdot \text{H}_2\text{O}$ ,  $2\text{BaO} \cdot \text{Al}_2\text{O}_3 \cdot 5\text{H}_2\text{O}$ , and  $3\text{BaO} \cdot \text{Al}_2\text{O}_3 \cdot (7-11)\text{H}_2\text{O}$ . Two new hydrates,  $\beta\text{-BaO} \cdot \text{Al}_2\text{O}_3 \cdot 4\text{H}_2\text{O}$  and  $\beta\text{-BaO} \cdot \text{Al}_2\text{O}_3 \cdot 2\text{H}_2\text{O}$  were found. X-ray powder diffraction data are given. A. Baidins

C.A. 1965. 63.7

7866 gh

1966

BaAl<sub>2</sub>O<sub>4</sub>

8 Б376. Прецизионное определение параметров  $BaAl_2O_4$  и подтверждение образования твердого раствора на основе железа. Утигава Хироси, Цукияма Коити. «Egē kēkaishi, Yogyo kyokaishi, J. Ceram. Assoc. Japan», 1966, 74, № 845, 13—20 (японск.; рез. англ.)

Рентгенографически прецизионно определены параметры гексагон. решетки  $BaAl_2O_4$  (I):  $a$  5,224;  $c$  8,777Å — и подтверждается образование твердого р-ра I —  $Fe_2O_3$ .  $\rho$  (выч.) = 4,087  $\rho$  (эксп.) = 4,004. Методом проб определены координаты атомов  $Al^{3+}$  и  $O^{2-}$ .  $AlO_4$  в I образует искаженный тетраэдр с ковалентными связями, в то время как  $Ba-O$  и  $O-O$  являются ионными связями.  $Fe^{3+}$  замещает  $Al^{3+}$  в I с расширением решетки, но избыточное добавление  $Fe_2O_3$  приводит к сжатию решетки в направлении оси  $c$ , к-рое, вероятно, вызвано переходом  $Fe^{3+}$  из тетраэдров  $FeO_4$  в октаэдры  $FeO_6$ .

Резюме авторов

X. 1967. 8

BaAl<sub>2</sub>O<sub>4</sub>.

1967

) 15 Б350. Монокристаллы BaAl<sub>2</sub>O<sub>4</sub>. Arlett R. H.,  
White J. G., Robbins M. Single crystals of BaAl<sub>2</sub>O<sub>4</sub>.  
«Acta crystallogr.», 1967, 22, № 2, 315 (англ.)

Проведено рентгенографич. исследование BaAl<sub>2</sub>O<sub>4</sub> (I)  
(методы порошка и монокристалла). Монокристаллы I  
получены из р-ра в расплаве Ba<sub>3</sub>(BO<sub>3</sub>)<sub>2</sub> при т-ре 1275°.   
Параметры тетрагон. решетки I:  $a$  10,444,  $c$  8,793 А. Па-  
раметр по  $a$  удвоен по сравнению с ранее опубликован-  
ным (Wallmark S., Westgren A. Arkiv Kemi Min. geol.  
1937, 12B, 1). Л. Демьянец

X. 1967. 15.

Ва - алюминат

ВФ 376 - IX

1967

$BaO \cdot Al_2O_3$

14 Б791. Термодинамическое изучение твердофазных реакций в системе  $BaO-Al_2O_3$ . Михеев В. Н., Сироткин Г. Д., Чернышова О. В., Куркина В. А. «Изв. высш. учебн. заведений. Химия и хим. технол.», 1967, 10, № 6, 617—619.

Сравнительными методами оценены значения стандартной энтропии ( $S_{298}^0$ ) и теплоемкости ( $C_p$ )<sub>298</sub>  $BaO \cdot Al_2O_3$ ,  $3 BaO \cdot Al_2O_3$  и  $BaO \cdot 6 Al_2O_3$ . Методом Ландля оценены теплоемкости. Дана оценка термодинамической устойчивости алюминатов бария при различных температурах.

Резюме

Ср

Л. 1968. 14

1967

$BaO \cdot Al_2O_3$   
2, 3

12 В29. Исследование реакций образования алюминатов бария. Михеев В. Н., Сироткин Г. Д., Кузнецов Ю. Н. «Ж. неорганической химии», 1967, 12, № 12, 3265—3268

Алгоритм  
Бария

Исследованы р-ции образования  $BaO \cdot Al_2O_3$ ,  $3BaO \cdot Al_2O_3$  и  $BaO \cdot 6Al_2O_3$  из  $BaCO_3$  и  $Al(OH)_3$  в вакууме. Аномальные изменения электропроводности образцов позволяют судить о физ.-хим. превращениях в системе: диссоциации  $Al(OH)_3$  и  $BaCO_3$  и образовании новых соединений. Установлено, что непосредственно перед возникновением новых фаз в системе наблюдается аномально быстрый рост электропроводности. Этот факт позволяет сделать предположение, что процессы возникновения новых фаз, возможно, проходят через стадию инообразования. Показано, что проведение р-ций в условиях низкого давл. значительно ускоряет процессы диссоциации и образования новых соединений. Резюме

X. 1968. 12



анизотропных тепловых поправок  $R(hkl) = 0,086$ . Установлено, что атом О, связанный с осью 3 порядка, в действительности занимает статистически 3 эквивалентные позиции, отстоящие от оси 3 на  $\sim 0,34$  А. Вследствие этого линейная связь М—О—М превращается в изогнутую с углом Al—О—Al  $158^\circ$ . Межатомные расстояния Al—О 1,723—1,755 и Ва—О (при коорд. ч. 10) 2,859—3,353 А.

Н. Г. Шумяцкая

BaO - Al<sub>2</sub>O<sub>3</sub>

1969

Akashi T., Matsumi K., Okada T., Mizutani T.,

IEEE Trans. Magn., 1969, 5, N3, 285-289

Система BaO - Al<sub>2</sub>O<sub>3</sub>

BaAl<sub>2</sub>O<sub>4</sub> D<sub>4</sub>

ВЗР-2944-IX

1970

H<sub>T</sub> - H<sub>298</sub>  
298 - 1600 K

ΔH<sub>пр</sub>  
C<sub>p</sub>

23 Б658. Энтальпия и теплоемкость алюмината бария при высоких температурах. Бокерия Б. Н., Цагарейшвили Д. Ш., Гвелеснани Г. Г. «Сакартвелос ССР Мецнერებათა Акадеმიის მოამბე, Сообщ. АН ГрузССР», 1970, 58, № 2, 369—372 (рез. груз. англ.)

В массивном калориметре методом смешения в интервале  $t$ -р 298,15—1600° К измерена энтальпия BaAl<sub>2</sub>O<sub>4</sub> (I). При 600° К обнаружен фазовый переход, к-рый не сопровождается изменением структуры I. Найдено значение теплоты превращения:  $\Delta H_{\text{пр}}^{600} = 120$  кал/моль. Введены интерполяц. ур-ния зависимости энтальпии  $H_T - H_{298,15}$  от  $T^\circ$  К для  $\alpha$ -BaAl<sub>2</sub>O<sub>4</sub> (298,15—600° К),  $\beta$ -BaAl<sub>2</sub>O<sub>4</sub>, (600—1612,4° К). В интервале 400—1600° К с шагом 100° приведена таблица сглаженных значений энтальпий.

Автореферат

X. 1970. 23

BaAl<sub>2</sub>O<sub>4</sub>

Bop - 2944/IX

1970

$\Delta H$

$C_p$

$\Delta H_{tr}$

81435c Enthalpy and heat capacity of barium aluminate at high temperatures. Bokeriya, B. N.; Tsagareishvili, D. Sh.; Gvelesiani, G. G. (Inst. Met., Tbilisi, USSR). *Soobshch. Akad. Nauk Gruz. SSR* 1970, 58(2), 369-72 (Russ). The enthalpy and heat capacity of  $\alpha$ -BaAl<sub>2</sub>O<sub>4</sub> and  $\beta$ -BaAl<sub>2</sub>O<sub>4</sub> at 298.15-600 and 600-

1612.4°K were measured and the data correlated. At 600°K, the enthalpy of the phase transition  $\alpha$ -BaAl<sub>2</sub>O<sub>4</sub>  $\rightarrow$   $\beta$ -BaAl<sub>2</sub>O<sub>4</sub> is 120 kcal/mole.  
M. Dokladal

C. A. 1970. 73. 16

BaAl<sub>2</sub>O<sub>4</sub>

[Om. 42 306]

[1970]

Гледесиами Т.Т., Бокерия Б.Н.

Сообщ. АН Груз.ССР, 1970, в. 58, №3,

с. 625 - 628

Терм. ср-цми алуминатов цем.-зем.

металлов:

	+ ΔH <sub>798</sub> <sup>ккал/моль</sup>	δ <sub>298</sub> (кал/К.моль)
Ca <sub>3</sub> Al <sub>2</sub> O <sub>6</sub>	-1.6 [2]	49.1 41.5 - 21.2.
Si <sub>2</sub> Al <sub>2</sub> O <sub>4</sub>	-12.4 [7]	21.3 17.3
BaAl <sub>2</sub> O <sub>4</sub>	-24.0 [2]	27.0 36.1

● [2] - Кудашевский (1967, лит.)

[7] - Massazza (1961z)

Саз  $Al_2O_3$ ,  $ScAl_2O_4$ ,  $BaAl_2O_4$  ( $\Delta H_{298}^\circ, S_{298}^\circ$ )<sup>1970</sup>

Гвеселами Г.Г., Бокерия Б.Н.

Сообщ. Акад. Наук Груз. ССР,  
1970, 58, №3, 625-8 (русск.)

Термодинамические функции  
алюминатов щелочноземель-  
ных металлов IX 3022

М, Б 10 (Ф) СА, 1971, 74, №6, 256-95

Ин. 42306

Ва № 04 (И-К, Т, А) 5 1970

ВФ-IX-2944, ин. 42,317

Бокерия Е.Н., Уггеревы В.В.

Гвелецкая Г.Г. № 7157

Сообщ. АН Груз ССР, 1970, 52, №3,  
601-603.

Энтомология и мезоэнтомология азиатско-австралийского субрегиона при биологической мезоэнтомологии.

Ришван, 1970  
23 5653

ГОТЪ Ф.Н. 5 (9)

$\text{BaAl}_2\text{O}_4$

Вср-IX-2944

1970

Бокерия Б.М., Цагарейшвили Д.М.,

Гвелескани Г.Г.,

Ср,  
НТ-Моз

Сообщ. АН Груз. ССР, 1970, в. 58, №2,

с. 369-371

Энтальпия и теплоемкость  
алюмината Ва при высоких  $T$ -рах  
(24 точки, 377.2 - 1612.4 K)

$$\alpha - \text{BaAl}_2\text{O}_4 \quad C_p = 34.25 + 17.66 \cdot 10^{-3} T - 10.97 \cdot 10^{-5} T^2$$

● кал.к<sup>-2</sup>.мол<sup>-1</sup>

$$\beta - \text{BaAl}_2\text{O}_4 \quad C_p = 33.03 + 7.56 \cdot 10^{-3} T$$

Ва  $Al_2O_3$  ( $H_T - K_0, T_{22}, \Delta H_2$ ) 5 1970

✓  $Al_2O_3$  Отт. 42317, ВФ-IX-2944  
Бокерия Б.М., Цагерейшвили Д.Ш.

Гвелесцани Г.Г. IX 7157

Сообщ. АН Груз ССР, 1970, 58, №3,

601-603. Таблицы стр. 369

Энтальпия и теплоемкость алю-  
мината строкуция при высоких  
температурах.

РИХИМ, 1970

235659



З Б (9)

Ва  $Al_2O_3$  ( $\Delta H, Cp, \Delta H_{tr}$ ) 1970  
Дат. 42317  $\alpha \rightarrow \beta$  IX 2944

Бокерия Б. Н., Чагарин В. И. Д. И.  
Рвешевани Т. Т.

Собр. Анал. Наук Груп. ССР, 6  
1970, 58, № 2, 369-72 (русск.)

Изтавърши и температура  
алмазната барие при ви-  
соких темп. раптурах.

Б. И. (95)

СА, 1970, 73, № 6, 81435e

IX 3159

1971

$\alpha$ -BaO · Al<sub>2</sub>O<sub>3</sub> · H<sub>2</sub>O;  $\gamma$ -BaO · Al<sub>2</sub>O<sub>3</sub> · 2H<sub>2</sub>O  
a, b, c

Ahmed A. H. M.,  
Classer L. S. Dent, COPY 2  
J. Appl. Chem. and Biotechol.,  
1971, 21, N4, 109-112 M<sub>1</sub>

ВаО — Al<sub>2</sub>O<sub>3</sub>  
Система

1971

14 Б751. Исследование богатой основанием области системы окись бария—окись алюминия. Appendino Pietro. Ricerche sulla zona più basica del sistema ossido di barioallumina. «Ann. chim.» (Ital.), 1971, 61, № 12, 822—830 (итал., рез. англ.)

Рентгенографически (методом порошка) на образцах, полученных исходя из смеси ВаСО<sub>3</sub> и гидрата Al(NO<sub>3</sub>)<sub>3</sub> с закалкой на воздухе от т-р 900—1400°, изучены твердофазные равновесия при указанных т-рах в системе ВаО—Al<sub>2</sub>O<sub>3</sub> в области, расположенной между ВаО и 3ВаО·Al<sub>2</sub>O<sub>3</sub>. В изученной области обнаружены 5 новых фаз: 4ВаО·Al<sub>2</sub>O<sub>3</sub>, 5ВаО·Al<sub>2</sub>O<sub>3</sub>, 7ВаО·Al<sub>2</sub>O<sub>3</sub>, 8ВаО·Al<sub>2</sub>O<sub>3</sub> и 10ВаО·Al<sub>2</sub>O<sub>3</sub>, устойчивых при т-рах соотв. >940°, <940°, <1050°, >1050° и <1130°. Для перечисленных фаз определены значения *I* и *d* рентгенограмм порошка.

И. Н. Семенов

X. 1972. 14

SrO·Al<sub>2</sub>O<sub>3</sub>

ВФ-3019-IX

1971

11 Б661. Термодинамическое изучение твердофазных реакций в системе SrO—Al<sub>2</sub>O<sub>3</sub>. Бровиков В. Н., Орлов В. В., Михеев В. Н. «Изв. высш. учебн. заведений. Химия и хим. технол.», 1971, 14, № 1, 49—52.

Впервые получены расчетным путем значения стандартной энтропии  $S_{298}^{\circ}$  и теплоемкости  $(Cp)_{298}$  для всех алюминатов стронция SrO·Al<sub>2</sub>O<sub>3</sub>, 3SrO·Al<sub>2</sub>O<sub>3</sub>, SrO·6Al<sub>2</sub>O<sub>3</sub>, 4SrO·Al<sub>2</sub>O<sub>3</sub>, SrO·2Al<sub>2</sub>O<sub>3</sub>. Составлены т-рные ряды теплоемкостей для указанных соединений. Дана оценка термодинамич. устойчивости алюминатов стронция при различных т-рах. Вычислено давл. насыщ. пара SrO над алюминатами с учетом изменения энтропии и теплоемкости реагирующих продуктов в интервале 1273—1773° К.

Резюме

S  
Cp  
Kp

X. 1971. H

Ва ВагНАО<sub>3</sub> 1971

АЕМ, щел.-зем. металлы

щелочноземельные и щелочноземельные (ЭН, АСР)

И 3028

Кузнецов В.А., Дымова Т.И.

Изв. АН СССР Сер. Хим., 1971, № 260-264

Оценка стандартных энталпий  
и изобарных потенциалов образования  
некоторых комплексных щелочей.

РНХим, 1971

115679



20

М (ор)

Ва О. Al<sub>2</sub> O<sub>3</sub> (Кр) IX 3998<sup>1972</sup>

Семенов Г. А., Тонков О. С.,

Соловейчик А. И., Терсина-

Кимова С. Н., Изв. Сибир-

Журнал, 1972, 46, №6,

1568-69

и б

З Вад. Ал<sub>2</sub>О<sub>3</sub> (Кр) IX 3998

Семенов З. А., Тонков О. С. <sup>1972</sup>

Соловейчик А. И., Терешки-

нова С. Н., Дл. груз. хи-

ми, 1972, 46, №6,  
1568-69

МБ

Ba Al<sub>2</sub>O<sub>4</sub>

1972

Семенин Г.А. + 3 колита  
МФХ, 1972, 46, 1568 стр.

- 131.0

- 29.6

$\Delta H_3 = 101.4 \pm 2$  ккал/моль  
н/м 1400-1550K  
 $\Delta H_3 = 109 \pm 4$

[850]

1973

Bad.  $Al_2O_3$

3 Bad.  $Al_2O_3$

(mb)

Barin Y., et al

mass I, comp. 82, 83

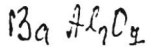
298-2103

298-2023

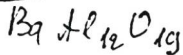
● (see AgF) I

Om. 42290

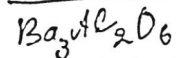
1973



$T_m = 1830^\circ C$



$T_m = 2173^\circ C$



$T_m = 1750^\circ C$

Beretka J., Brown T.

Australian J. Chem.,  
1973, v. 26, p. 2527-31

Studies of the intermediate phases  
in the reaction between  $BaCO_3$  and  
 $Al_2O_3$

1973

$BaO \cdot Al_2O_3$   
 $3BaO \cdot Al_2O_3$

$\Delta S_{298}^0, C_p$

11 Б694. Термодинамическое исследование твердо-  
фазных реакций в системе  $BaCO_3-Al_2O_3$ . Вълков В.,  
Бояджиева Х., Димитриев Я. Термодинамично  
изучаване на твърдофазните реакции в системата  
 $BaCO_3-Al_2O_3$ . «Строит. материали и силикатна  
пром-ст», 1973, 14, № 7, 3-4 (болг.; рез. рус., англ., нем.)

Рассмотрена термодинамич. возможность получения  
алюминатов бария  $BaO \cdot Al_2O_3$  (I) и  $3BaO \cdot Al_2O_3$  (II)  
при взаимодействии  $BaCO_3$  и  $\alpha-Al_2O_3$ . Станд. энтропия II  
принята равной сумме станд. энтропий  $BaO$  и  $\alpha-Al_2O_3$ ,  
что дало  $S_{298}^0 = 62,575$  э. е. Теплоемкости I и II оценены  
методом Ландия, их т-рные зависимости представлены  
соотв. ур-ниями  $C_p = 53,04 \pm 13,50 \cdot 10^{-3} T + 1,12 \cdot 10^5 T^{-2}$  и  
 $C_p = 34,056 + 8,093 \cdot 10^{-3} T - 0,27 \cdot 10^5 T^{-2}$ . Рассчитаны изме-  
нения энергии Гиббса для р-ций  $BaCO_3 + \alpha-Al_2O_3 = BaO \cdot$   
 $\cdot Al_2O_3 + CO_2$  (1);  $BaCO_3 + \alpha-Al_2O_3 = 1/3BaO \cdot Al_2O_3 +$   
 $+ 2/3Al_2O_3 + CO_2$  (2),  $3BaCO_3 + \alpha-Al_2O_3 = BaO \cdot Al_2O_3 +$   
 $+ 2BaCO_3 + 3CO_2$  (3) и  $3BaCO_3 + \alpha-Al_2O_3 = 3BaO \cdot Al_2O_3 +$   
 $O_3 + 3CO_2$  (4) при т-рах 200-1600° К с шагом в 200°.

67666 - 44771  
B9 - 18 - 44771

Х. 1974 № 11

Аналитич. зависимости  $\Delta G$  от т-ры выражены ур-ниями вида  $\Delta G = A + B T \ln T + C \cdot 10^{-3} T^2 - D \cdot 10^5 / T - E T$  с коэф.  $A, B, C, D$  и  $E$  соотв. равными: (1) 45047, 97, 3,594, 2,253, 4,51, 180, 72; (2) 55668,71, 1,368, 3,03, 2,01, 77,04; (3) 45047,97, 3,594, 2,253, 4,51, 180,72 (4) 167002, 5,05, 9,09, 6,03, 213,23. Обнаружено, что независимо от стехиометрич. соотношения между  $\text{BaCO}_3$  и  $\alpha\text{-Al}_2\text{O}_3$  при их взаимодействии вначале образуется I и только выше  $900^\circ \text{K}$  возможно образование II. П. М. Чукуров



$BaO \cdot Al_2O_3$ ;  $BaO \cdot 6Al_2O_3$

1973

15 Б501. Рентгенографическое исследование алюмината бария. Часть II.  $BaO \cdot Al_2O_3$  и  $BaO \cdot 6Al_2O_3$ . Chandra Satish, Nedoma Józef. Badania rentgenograficzne nad glinianami barowymi. Cz. II. «Mater. ogniotr.», 1973, 25, № 6, 125—127. (польск.; рез. рус., англ., нем.)

Нарман.

Гешенки

Взаимодействием  $BaCO_3$  или  $BaSO_4$  с кальцинированным  $Al_2O_3$  получены соединения  $BaO \cdot Al_2O_3$  (I) и  $BaO \cdot 6Al_2O_3$  (II), рентгенографич. исследование (метод порошка, дифрактометр,  $\lambda Cu$ ), к-рых позволило определить параметры гексагон. решеток: I  $a$  5,22,  $c$  8,60 Å; II  $a$  5,5769,  $c$  22,656, хорошо совпадающие с лит. данными. Приведены значения  $d$ ,  $hkl$  рентгенограмм порошка I и II. Ч. I см. РЖХим, 1974, 2Б437. С. В. Соболева

Х. 1974 № 15

$3\text{BaO} \cdot \text{Al}_2\text{O}_3$

1973

2 Б437. Рентгенографическое исследование алюмината бария. Chandra Satish, Nedoma Józef. Badania rentgenograficzne nad glinianami barowymi. «Mater. ogniotr.», 1973, 25, № 3, 58—60 (польск.; рез. рус., англ., нем.)

рентген-  
граф.  
исследов.

Взаимодействием  $\text{BaCO}_3$  с обожженным глиноземом ( $\text{Al}_2\text{O}_3$ ) в соотношении 3:1 при т-ре  $1450^\circ$  получен синтетич.  $3\text{BaO} \cdot \text{Al}_2\text{O}_3$ . Последний изучен методом порошка (дифрактометр,  $\lambda$  Cu). Приведены  $d$  и  $I$  рентгенограммы порошка; попытки индифференцирования при принятии ранее установленной кубич. решетки с параметром  $a$  14,15А не удалось. На основании этого сделан вывод, что соединение обладает более низкой симметрией.

Б. П. Б.

х. 1974. N 2

Монография. Ве, Mg, Ca, Sr, Ba (с Гр) 1973

Гордеев С.Я. А-2592

Тр. Ивачев. хим.-технол. ин-та, 1973, вып. 16,

23-26

Расчетный метод термодинамического анализа  
пирохимических реакций образования сложных  
соединений. Сводч. З. Метод расчета энтальпии  
изотермического потенциала образования  
сложных кислородных соединений.

РИЦ Хим., 1974

125705

ЕСТЬ  
10 М Ф Н.

BaO·Al<sub>2</sub>O<sub>3</sub>

BP-IX-447ef

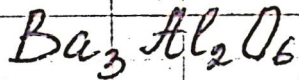
1973

(ΔG<sub>T</sub>)

41669v Thermodynamic study of the solid-phase reactions in the barium carbonate-alumina systems. Vulkov, V.; Boyadzhieva, Kh.; Dimitriev, Ya. (Bulg.). *Stroit. Mater. Silikat. Prom.* 1973, 14(7), 3-4 (Bulg). The free energy for the solid state reactions (1) BaCO<sub>3</sub> + Al<sub>2</sub>O<sub>3</sub> = BaO·Al<sub>2</sub>O<sub>3</sub> + CO<sub>2</sub>, (2) BaCO<sub>3</sub> + Al<sub>2</sub>O<sub>3</sub> = 1/2 (BaO)<sub>2</sub>·Al<sub>2</sub>O<sub>3</sub> + 3/2 Al<sub>2</sub>O<sub>3</sub> + CO<sub>2</sub>, (3) 3BaCO<sub>3</sub> + Al<sub>2</sub>O<sub>3</sub> = BaO·Al<sub>2</sub>O<sub>3</sub> + 2BaCO<sub>3</sub> + CO<sub>2</sub>, and (4) 3BaCO<sub>3</sub> + Al<sub>2</sub>O<sub>3</sub> = 3BaO·Al<sub>2</sub>O<sub>3</sub> + 3CO<sub>2</sub> were calcd. as (1 = 3) ΔG<sub>T</sub><sup>o</sup> = 45,047.97 + 3.594T ln T + 2.253 × 10<sup>-2</sup> T<sup>2</sup> - 4.51 × 10<sup>5</sup> T<sup>-1</sup> - 180.72T, (2) ΔG<sub>T</sub><sup>o</sup> = 55,668.71 + 1.368 T ln T + 3.03 × 10<sup>5</sup> T<sup>2</sup> - 2.01 × 10<sup>5</sup> T<sup>-1</sup> - 77.04T, and (4) ΔG<sub>T</sub><sup>o</sup> = 167,002 + 5.05 T ln T + 9.09 × 10<sup>-2</sup> T<sup>2</sup> - 6.03 × 10<sup>5</sup> T<sup>-1</sup> - 2.13.23T, resp., where ΔG is in cal/mole and T is in °K. D. Meranda

Стран: Мет. Силкат. про

C.A. 1974.80. N 8



1974

(Ter)

142257k Polymorphism of barium aluminum oxide ( $\text{Ba}_3\text{Al}_2\text{O}_6$ ) and solid solution between barium aluminum oxide ( $\text{Ba}_3\text{Al}_2\text{O}_6$ ), strontium aluminum oxide ( $\text{Sr}_3\text{Al}_2\text{O}_6$ ), and calcium aluminum oxide ( $\text{Ca}_3\text{Al}_2\text{O}_6$ ): Glasser, F. P. (Dep. Chem., Univ. Aberdeen, Aberdeen; Scot.). *Cem. Concr. Res.* 1974, 4(5), 745-52 (Eng).  $\text{Ba}_3\text{Al}_2\text{O}_6$  has a rapid, reversible phase transition at  $450^\circ$ . The  $\text{Ca}_3\text{Al}_2\text{O}_6$ - $\text{Sr}_3\text{Al}_2\text{O}_6$  and  $\text{Sr}_3\text{Al}_2\text{O}_6$ - $\text{Ba}_3\text{Al}_2\text{O}_6$  solid solns. each contain 2 intermediate phases. The incongruent melting of  $\text{M}_3\text{Al}_2\text{O}_6$  solid solns. gives one cryst. product; a pseudocubic phase of unknown compn. Powder x-ray data are given for the newly discovered phases.

C.A. 1974. 81N22

1974

 $Ba_3Al_2O_6$ 

5 Б994. Полиморфизм  $Ba_3Al_2O_6$  и твердых растворов между  $Ba_3Al_2O_6$ ,  $Sr_3Al_2O_6$  и  $Ca_3Al_2O_6$ . Glasser F. P. Polymorphism of  $Ba_3Al_2O_6$  and solid solution between  $Ba_3Al_2O_6$ ,  $Sr_3Al_2O_6$  and  $Ca_3Al_2O_6$ . «Cem. and Concr. Res.», 1974, 4, № 5, 745—752 (англ., рез. нем.)

Исследованы полиморфные превращения  $Ba_3Al_2O_6$  и структура фаз систем  $Ba_3Al_2O_6$ — $Sr_3Al_2O_6$  и  $Sr_3Al_2O_6$ — $Ca_3Al_2O_6$ . Методом ДТА в случае  $Ba_3Al_2O_6$  обнаружен значит. обратимый тепловой эффект при  $450 \pm 5^\circ$ , связанный с полиморфным превращением. Превращение не отразилось на крист. структуре (по рентгенографич. данным), в отличие от результатов предыдущих исследований, по-видимому, связанных с наличием примеси  $Sr^{2+}$ . Рентгенографич. исследование систем  $Sr_3Al_2O_6$ — $Ca_3Al_2O_6$  и  $Sr_3Al_2O_6$ — $Ba_3Al_2O_6$  показало, что во всем интервале конц-ней структура решетки тв. р-ров кубич. или псевдо-

(Tt)

X. 1975 N5

кубич. с параметром монотонно возрастающим при увеличении среднего радиуса двухвалентного иона. Обе системы содержат по 2 промежут. фазы след. состава:  $\text{Ca}_{2,0}\text{Sr}_{1,0}\text{Al}_2\text{O}_6$ ,  $\text{Ca}_{0,3}\text{Sr}_{2,7}\text{Al}_2\text{O}_6$ ,  $\text{Ba}_{0,6}\text{Sr}_{2,4}\text{Al}_2\text{O}_6$  и  $\text{Ba}_{1,4}\text{Sr}_{1,6}\text{Al}_2\text{O}_6$  и имеют огр. р-римость в интервалах между указанными составами. Соединения плавятся incongruently, что не позволило вырастить их монокристаллы. Найдена миним. т-ра плавления в псевдотройной системе  $(\text{Ca}, \text{Sr}, \text{Ba})_3\text{Al}_2\text{O}_6$  ( $1350^\circ$ ). Методом ДТА полиморфных превращений в промежут. фазах не обнаружено.

А. Е. Вольпян

Алюминаты  
цел.-зем. металлов (ΔG<sub>f</sub>)<sup>IV</sup> А-2795 1975  
3 BaO - Al<sub>2</sub>O<sub>3</sub>

Бровиков В.И., Михеев В.И.,

Тордеев С.Я., Кириллов И.П.

Реферат из ж. "Изв. Выш. учед. заведе.  
НДН. Химия и хим. техно." Иваново, 1975,  
31 с., Рукопись деп. в ВНИИТИ 12 февр. 1975,  
N 333-75 деп. Термодинамический анализ  
реакции образования некоторых шпинеллюв.

РН Хим., 1975  
125778 деп.

Есть фк  
М (ф)

$BaAl_2O_4$

Кр. дНф

X 1975 N 23

23 Б887. Масс-спектрометрическое исследование испарения  $BaAl_2O_4$ . Hilpert K., Naoumidis A., Wolff G. Mass spectrometric study of the evaporation of  $BaAl_2O_3$ . «High Temp. Sci.», 1975, 7, № 1, 1—10 (англ.)

В интервале  $t$ -р 1840—2086 К методом Кнудсена на масс-спектрометре изучен процесс сублимации образцов  $1,1BaO \cdot 0,9Al_2O_3$  (I) и  $0,9BaO \cdot 1,1Al_2O_3$  (II). Каждый из образцов приготавливался из тв.  $BaO$  и  $Al_2O_3$  двумя способами: спеканием при  $t$ -ре 1873 К и плавлением. Методом рентгенофазового анализа показано, что плавленый и неплавленый образец II содержит фазы  $BaAl_2O_4$  и  $BaAl_{12}O_{19}$ , плавленый образец I — фазу  $BaAl_2O_4$ , неплавленый — фазы  $BaAl_2O_4$  и  $Ba_3Al_2O_6$ . Масс-спектр насыщ. пара над всеми образцами содержит молек. ионы  $Ba^+$  и  $BaO^+$  с Пт появления соотв.  $5,1 \pm 0,2$  и  $6,5 \pm 0,2$  э: в. Показано, что атомы  $Ba$  в газовой фазе образуются за счет взаимодействия образцов с материалом (Мо) ячейки Кнудсена. Определено давл.  $BaO$  (газ.) над I и II. Для плавленого и неплавленого II и плавленого I давл.  $BaO$  (газ.) совпадают и соответствуют р-ции  $6BaAl_2O_4$  (тв.)  $\rightleftharpoons$   $5BaO$  (газ.) +  $BaAl_{12}O_{19}$  (тв.) (I). Давл.  $BaO$  (газ.) над не-

1975

5426-157

плавленным I на три порядка выше. Получено уравнение зависимости давл. BaO (газ.) от температуры для реакции (1)  
 $\lg P (\text{BaO, атм}) = -2,814 \cdot 10^4/T + 6,50$ ; по 2-му закону  
рассчитана энтальпия  $\Delta H^\circ_{1963\text{К}}$  (реакции 1) = 645 ккал/моль  
и энтропия  $\Delta S^\circ_{1963\text{К}}$  (реакции 1) = 149 э. е. С помощью  
эксперим. и лит. данных рассчитана энтальпия образова-  
ния  $(\text{BaAl}_2\text{O}_4)$  тв. из тв.  $\text{BaAl}_{12}\text{O}_{19}$  и BaO соотв.  
 $\Delta H_{1963\text{К}} = -27$  ккал/моль. М. В. Коробов

---

701  
РАСТ

177-1A-5214

1975

Ba<sub>3</sub>Al<sub>2</sub>O<sub>6</sub>

BaAl<sub>12</sub>O<sub>19</sub>

$\Delta H_T^\circ$ ;  $\Delta H_f^\circ$   
7298

X1976N7

7 Б909. Масс-спектрометрическое исследование испарения Ba<sub>3</sub>Al<sub>2</sub>O<sub>6</sub> и BaAl<sub>12</sub>O<sub>19</sub>. Hilpert K., Beske H., Naoumidis A. Mass spectrometric study of the vaporization of Ba<sub>3</sub>Al<sub>2</sub>O<sub>6</sub> and BaAl<sub>12</sub>O<sub>19</sub>. «High Temp. Sci. 1975, 7, № 3, 159—166 (англ.)

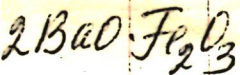
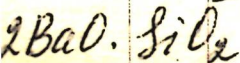
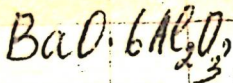
Методом Кнудсена на масс-спектрометре исследован процесс испарения соединений Ba<sub>3</sub>Al<sub>2</sub>O<sub>6</sub> (I) и BaAl<sub>12</sub>O<sub>19</sub> (II) в интервалах т-р соотв. 1469—1745 и 1897—2170 К. В масс-спектре газовой фазы над I и II обнаружены лишь ионы Ba<sup>+</sup> и BaO<sup>+</sup>. Показано, что I и II испаряются инконгруэнтно по ур-ниям Ba<sub>3</sub>Al<sub>2</sub>O<sub>6</sub> (тв.)  $\rightleftharpoons$   $\rightleftharpoons$  2 BaO (газ.) + BaAl<sub>2</sub>O<sub>4</sub> (тв.) (1) и BaAl<sub>12</sub>O<sub>19</sub> (тв.)  $\rightleftharpoons$   $\rightleftharpoons$  BaO (газ.) + 6 Al<sub>2</sub>O<sub>3</sub> (тв.) (2). По 2-му закону определены энтальпии  $\Delta H_T^\circ$  р-ций (1) и (2) при ср. т-рах соотв. 216 и 130 ккал/моль. По парц. давл. BaO рассчитаны т-рные зависимости энергий Гиббса  $\Delta G_T^\circ$  для р-ций (1) и (2) соотв. 216—0,0723 T и 130—0,0286 T. Рассчитаны энтальпии образования  $\Delta H^\circ_{2034}$  (II) из тв. BaO и Al<sub>2</sub>O<sub>3</sub> и из элементов соотв. —33 и —2601 ккал/моль.

М. В. Коробов

4-10613

IX - 5210

1975



9 Б854. Термодинамическое исследование реакций в системе, содержащей BaS, SiO<sub>2</sub>, Al<sub>2</sub>O<sub>3</sub>, Fe<sub>2</sub>O и H<sub>2</sub>O. Стригунов Ф. И., Алексеев В. И. «Ж. прикл. химии», 1975, 48, № 11, 2445—2447

С использованием лит. данных рассчитаны термодинамические зависимости энтальпий и энергий Гиббса реакций взаимодействия сульфида бария BaS с двуокисью кремния, окислами железа и алюминия в присутствии паров воды в интервале 800—1800° К. Установлено, что равновесие этих реакций сдвинуто в сторону образования сероводорода в газ. фазу. Обнаружено, что термодинамически наиболее устойчивыми соединениями являются в интервале 1000—1700° К BaO · 6Al<sub>2</sub>O<sub>3</sub>, 2BaO · SiO<sub>2</sub> и 2BaO · Fe<sub>2</sub>O<sub>3</sub>.

П. М. Чукуров

(+2) ☒

X 1976 N 9

к/к меш на месте!  
Б.Б. I20082

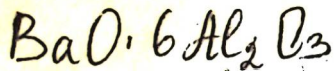
BaAl<sub>2</sub>O<sub>4</sub>

55357d Mass spectrometric study of the evaporation of aluminum barium oxide (BaAl<sub>2</sub>O<sub>4</sub>). Hilpert, K.; Naoumidis, A.; Wolff, G. (Zentralinst. Anal. Chem., Kernforschungsanlage Juelich, Juelich, Ger.). *High Temp. Sci.* 1975, 7(1), 1-10 (Eng). To clarify the behavior of evaporation of BaAl<sub>2</sub>O<sub>4</sub> [12001-04-5] sub- and super-stoichiometric samples having the compn. 1.1 BaO·0.9 Al<sub>2</sub>O<sub>3</sub> and 0.9 BaO·1.1 Al<sub>2</sub>O<sub>3</sub> were investigated by mass spectrometry. The measurements were accomplished under equil. conditions with a Mo Knudsen cell. Of each sample, one was prepd. solely by sintering of BaCO<sub>2</sub> and Al<sub>2</sub>O<sub>3</sub> and a further one by subsequent melting. The results for the super-stoichiometric sintered and molten samples are in agreement with those for the sub-stoichiometric molten sample. It was possible to assoc. them with the compd. BaAl<sub>2</sub>O<sub>4</sub>. The data for the sintered substoichiometric sample differ completely from those for the others because the sample contains addnl. Ba<sub>3</sub>Al<sub>2</sub>O<sub>6</sub> as was proved by x-ray diffraction. From the Knudsen measurements, one can conclude that BaAl<sub>2</sub>O<sub>4</sub> at 1840-2086°K is evaporating incongruently by disocn. into solid BaAl<sub>12</sub>O<sub>19</sub> and gaseous BaO, according to the equation  $6(\text{BaAl}_2\text{O}_4)_s = 5(\text{BaO})_g + (\text{BaAl}_{12}\text{O}_{19})_s$ . The BaO disocn. pressure over the compd. BaAl<sub>2</sub>O<sub>4</sub> is given by the equation  $\log_{10}p(\text{atm}) = -2.814(10^4/T) + 6.50(1840 \text{ to } 2086^\circ\text{K})$ . The molal enthalpy of reaction for the above-mentioned reaction was detd.  $\Delta_{RH}^\circ_{1963} = 645 \text{ kcal mole}^{-1}$ .

(p, 4H)

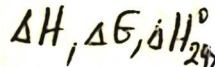
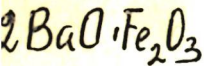
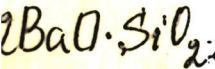
C.A. 1975-83 N10

MS-9245



IX-5210

1975



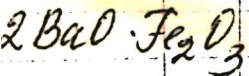
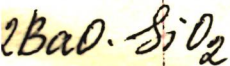
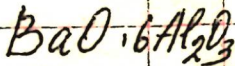
84: 65960s Thermodynamic study of reactions in a system containing barium monosulfide, silicon dioxide, aluminum oxide, ferric oxide, and water. Strigunov, F. I.; Alekseev, V. I. (USSR). *Zh. Prikl. Khim. (Leningrad)* 1975, 48(11), 2445-7 (Russ). Enthalpies, std. free energies, and std. enthalpies of 9 reactions involving either 2 or 3 title compds. were calcd. in order to explain the effect of  $\text{H}_2\text{O}$  vapor on BaS [21109-95-5] yield in reactions of BaS with impurities. At 800-1800°K, the equil. reactions of BaS with  $\text{SiO}_2$ ,  $\text{Fe}_2\text{O}_3$ , and  $\text{Al}_2\text{O}_3$  in the presence of  $\text{H}_2\text{O}$  lead to the formation of Ba silicates, ferrites, and aluminates with evolution of  $\text{H}_2\text{S}$ .  $\text{BaO} \cdot 6\text{Al}_2\text{O}_3$ ,  $2\text{BaO} \cdot \text{SiO}_2$ , and  $2\text{BaO} \cdot \text{Fe}_2\text{O}_3$  are thermodyn. most stable products at 1000-1700°K.

(+2) ☒

C. A. 1976. 84 n 10

~~IX~~ IX-5210

1975



84: 65960s Thermodynamic study of reactions in a system containing barium monosulfide, silicon dioxide, aluminum oxide, ferric oxide, and water. Strigunov, F. I.; Alekseev, V. I. (USSR). *Zh. Prikl. Khim. (Leningrad)* 1975, 48(11), 2445-7 (Russ). Enthalpies, std. free energies, and std. enthalpies of 9 reactions involving either 2 or 3 title compds. were calcd. in order to explain the effect of H<sub>2</sub>O vapor on BaS [21109-95-5] yield in reactions of BaS with impurities. At 800-1800°K, the equil. reactions of BaS with SiO<sub>2</sub>, Fe<sub>2</sub>O<sub>3</sub>, and Al<sub>2</sub>O<sub>3</sub> in the presence of H<sub>2</sub>O lead to the formation of Ba silicates, ferrites, and aluminates with evolution of H<sub>2</sub>S. BaO·6Al<sub>2</sub>O<sub>3</sub>, 2BaO·SiO<sub>2</sub>, and 2BaO·Fe<sub>2</sub>O<sub>3</sub> are thermodyn. most stable products at 1000-1700°K.

C.A. 1976 84 N10

BaAl<sub>2</sub>O<sub>4</sub>

1977

Ito S., Bairo Sh., et al

HTC; Tc

J. Phys. Chem (B&R)  
1974, 107 (1), 53-56

(see BaAl<sub>2</sub>O<sub>4</sub>; I)

$BaAl_2O_4$

Кристал.  
Структ.

20 Б373. О кристаллической структуре  $BaAl_2O_4$ .  
Hörkner W., Müller-Buschbaum Hk. Zur Kristallstruktur von  $BaAl_2O_4$ . «Z. anorg. und allg. Chem.», 1979, 451, № 4, 40—44 (нем.; рез. англ.)

Рентгенографически изучены (дифрактометр, МНК, изотропное приближение) кристаллы  $BaAl_2O_4$  (I), синтезированные взаимодействием  $BaO$  и  $Al_2O_3$  при  $t$ -ре  $1430^\circ$ . Параметры гексагон. решетки:  $a$  10,470 Å,  $c$  8,819, ф. гр.  $R\bar{3}c$ . Структура I, также как и структуры алюминатов  $MA_2O_4$  ( $M=Be, Mg, Ca, Sr$ ) представляет собой структуру внедрения в тип тридимита с последовательностью слоев, содержащих шестичленные тетраэдрич. кольца, АВАВАВ. I не изоструктурно  $BaGa_2O_4$ ; в последней структуре предполагается статистич. чередо-

вание последовательностей слоев АВАВАВ, АААВВВ и ВАВВВА.  
С. В. Соболева

2.1979, 1120

1979

CaO-Al<sub>2</sub>O<sub>3</sub>

BaO-Al<sub>2</sub>O<sub>3</sub>

3 Б821. Термодинамические свойства алюминатов кальция и бария. Левницкий В. А., Сколис Ю. Я., Закопайло Н. А. «8-я Всес. конф. по калориметрии и хим. термодинам., Иваново, 1979. Тез. докл. II-ПКТБМ», Иваново, 1979, 340

Методом э. д. с. с тв. F<sup>-</sup>-ионным электролитом определены термодинамич. характеристики образования 6 алюминатов в системах CaO-Al<sub>2</sub>O<sub>3</sub> и BaO-Al<sub>2</sub>O<sub>3</sub> в интервале т-р 1000-1400 К. А. С. Гузей

термодинам. св-ва

(Не указано, для каких алюминатов Ca и Ba проведены измерения, и эти измерения не закончены, или не приведены в реферате)



Берман

24/II-2007-2

(+1)

а: 1980.15

ВаО-А<sub>2</sub>О<sub>3</sub>

1979

Левуцкий В. А., угр.

мезозойск.  
Св-ба  
алюминатов.

8<sup>а</sup> Весе, Косур, по  
кислороду, фее и хлм.  
мезозойск. Увеево,  
1979. Мез. годк. II-III т. 4.  
● Увеево, 1979, 340.

(св. Са-Ал - 0; I)

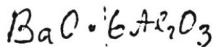
BaAl<sub>2</sub>O<sub>4</sub>  
Ba<sub>3</sub>Al<sub>2</sub>O<sub>6</sub>

Lammuck 8936 | 1979

Levitskiĭ V. A.

(OGT)  
pucet

Rev. int. hautes  
Temp. Refract (Fr)  
1979, 16, 187 209.



Om. 42 291

1979

$$T_{\text{melt}} = 1963^\circ\text{C} = 2236\text{K}$$

Mateika D., Landan H.,

J. of Crystal Growth, 1979, v. 46, p. 85-90

Czochralski growth of Ba-alkaliumsilicate  
монокристалла.

рекарнационни  $\text{BaAl}_2\text{O}_9$ , стр. тук  $\beta$ -алумина,  
параметри  $a = 5.58 \text{ \AA}$ ,  $c = 22.68 \text{ \AA}$  [6]

1963

123

2236



$BaO-Al_2O_3$ ,  $BaO \cdot 6Al_2O_3$  [Om. 42294] 1979

Mateika D., Laudan H.,

J. Cryst. Growth, 1979, 46, p. 85-90

$T_m = 2236K$  Получение монокристалла  
 $BaAl_{12}O_{19}$  методом "Зохральского"

1982

 $Al_2O_3 - BaAl_2O_4$ 

96: 111019q Phase relations relevant to hexagonal barium aluminates. Kimura, S.; Bannai, E.; Shindo, I. (Natl. Inst. Res. Inorg. Mater., Ibaraki, Japan 305). *Mater. Res. Bull.* 1982, 17(2), 209-15 (Eng). Phase relations in the  $Al_2O_3 - BaAl_2O_4$  system were established at  $>1600^\circ$ . Two distinctive compds. were confirmed. Directional solidification expts. as well as vaporization loss measurements were carried out for construction of a correct phase diagram.

оравбад  
гуарану

рств з куча!

C. A. 1982, 96, N14.

Ba 0.82 Al<sub>2</sub>O<sub>3</sub> 18.82

аканси Ca Al<sub>2</sub>O<sub>3</sub>!

Tm узморена

BaAl<sub>12</sub>O<sub>19</sub>

1983

17 Б528. Электронномикроскопическое изучение гексаалюминатов бария. Electron microscopic study of barium hexaaluminates. Iyi N., Takekawa S., Bando Y., Kimura S. «J. Solid State Chem.», 1983, 47, № 1, 34—40 (англ.)

Доказано существование двух различных фаз в считавшемся ранее индивидуальным соединением BaAl<sub>12</sub>O<sub>19</sub>. Кристаллы фазы I диам. 7 и длиной 50 мкм получены методом плавающей зоны со скоростью 1 мм/час с оптич. нагревом из смеси BaCO<sub>3</sub> и Al<sub>2</sub>O<sub>3</sub> (0,85 : 6,0). Фаза II в виде прозрачных кристаллов размерами 0,2 × 0,2 × 0,3 мм получена из р-ра в PbO—PbF<sub>2</sub> (BaPb-II) или в виде поликрист. смеси с BaAl<sub>2</sub>O<sub>4</sub> из смеси BaCO<sub>3</sub> и Al<sub>2</sub>O<sub>3</sub> (3,12 : 6,0) методом плавающей зоны (Ba-II). Структура этих фаз исследована с помощью дифракции электронов в высоковольтном (1 МэВ) микроскопе и с помощью рентгенографич. метода порошка (λMo-K<sub>α</sub>, внутренний стандарт Al). Плотность измерена методом гидростатич. взвешивания или флотации. Установлено,

X. 1983, 19, N 17

что фаза I изоструктурна  $\beta\text{-Al}_2\text{O}_3$  или магнетоплумбиту, ф. гр.  $R\bar{6}_3/mmc$ ,  $a$  5,587,  $c$  22,72А. Плотность 3,657; отношение Al/Ba (по данным рентгеновского микроанализа) равно 13,8, что соответствует составу  $\text{Ba}_{0,79}\text{Al}_{10,9}\text{O}_{17,4}$  ( $Z$  2), более близкому к  $\beta\text{-Al}_2\text{O}_3$  ( $\text{M}^+\text{Al}_{11}\text{O}_{17}$ ), чем к магнетоплумбиту ( $\text{M}^{2+}\text{Al}_{12}\text{O}_{19}$ ). Предполагается, что баланс заряда поддерживается за счет дефектов Ba- и Al-подрешеток и внедренных атомов O. Параметры решетки фазы II:  $a$  5,601,  $c$  22,91А,  $\rho$  3,88—3,89, состав соответствует ф-ле  $\text{Ba}_{2,34}\text{Al}_{21,0}\text{O}_{33,84}$  (Ba-II) или  $(\text{Ba}_{0,80}\text{Pb}_{0,20})_{2,34}\text{Al}_{21,0}\text{O}_{33,84}$  (BaPb-II). Показано, что она представляет собой сверхструктуру  $(\sqrt{3}\times\sqrt{3})$ , к-рая связана, вероятно, с упорядочением избыточных ионов Ba в слоях Ba—O по позициям Биверса—Росса решетки  $\beta\text{-Al}_2\text{O}_3$  с различными возможными вариантами заполнения этих позиций. Отмечено, что предложенные модели структуры фаз I и II являются упрощенными, и для их полного определения необходимо дополнительное структурное исследование. С. Ш. Шильштейн

$Ba_{0,79}Al_{10,9}O_{17,4}$

1984

18 Б2030. Кристаллическая структура гексаалюмината бария — фаза I (бариевый  $\beta$ -корунд). The crystal structure of barium hexaaluminate phase I (barium  $\beta$ -alumina). Iyi N., Inoue Z., Takekawa S., Kimura S. «J. Solid State Chem.», 1984, 52, № 1, 66—72 (англ.)

Рентгенографическое исследование ( $\lambda$  Mo, анизотропный МНК,  $R$  0,023 для 836 отражений) фазы I гексаалюмината бария состава  $Ba_{0,79}Al_{10,9}O_{17,4}$  показало, что, в отличие от других гексаалюминатов  $MAl_{12}O_{19}$  ( $M = Ca, Sr$ ), характеризующихся структурой типа магнетоплюмбита, I представляет собой структуру типа внедрения на основе  $\beta$ -корунда ( $\beta-Al_2O_3$ ). Параметры гексагон. решетки фазы I:  $a$  5,588 А,  $c$  22,769,  $\rho$  (изм.) 3,657.  $Z$  2, ф. гр.  $R\bar{6}_3/mmc$ . Структура представляет со-

Кристал-  
структура

Л. 1984, 19, N 18

бой шпинелеподобные блоки из соединенных вершинами октаэдров и тетраэдров вокруг атомов Al (Al—O в тетраэдрах 1,699—1,806 Å, в октаэдрах 1,821—2,015), между которыми располагаются атомы Ва в 9-кратной координации. Распределение атомов Al по октаэдрам характеризуется дефектами Френкеля (дефицит Al в ряде октаэдрич. положений с одновременным появлением Al в других положениях). Часть атомов O также локализуется в других положениях. С точки зрения найденной структуры дана детальная интерпретация нестехиометрич. состава.

С. В. Соболева

№ 18510

1984

Ва Азды

Резницкий Л. А., Риеми-  
лова С. Е.,

д. ф. н.

Вестн. Моск. ун-та, Сер. 2.  
1984, 25, № 1, 115-116.

Химия,

$Ba_3Al_2O_6$

1987

22 Б2042. Кристаллическая структура  $Ba_3Al_2O_6$ . Антипов Е. В., Лыкова Л. Н., Паромова М. В., Розанова О. Н., Ковба Л. М. «Координац. химия», 1987, 13, № 8, 1119—1122

Проведен РСтА ( $\lambda Mo$ , 917 отражений,  $R$  0,078)  $Ba_3Al_2O_6$ . Кристаллы кубич.  $a$  16,494 Å,  $Z$  24, ф. гр.  $Ra\bar{3}$ . Структура каркасная, каркас составляют октаэдры  $BaO_6$  и тетраэдры  $AlO_4$ , связанные общими вершинами. Установлено, что структура является производной от структуры перовскита.

Из резюме

22 Б2043. Модель кристаллической структуры соединений  $M_{11}Ni_6O_6$  ( $M=Y, Er, Tm, Yb, Lu$ ). Путьгин А. А. «Вестн. МГУ. Химия», 1987, 28, № 3, 294—298

Методами рентгенофазового анализа и металлографии в диапазоне давл.  $10^{-2}$ — $10^{10}$  Па и т-р 600—1100 К обнаружено существование 5 тройных изоструктурных кубич. соединений  $M_{11}Ni_6O_6$  ( $M=Y, Er, Tm, Yb, Lu$ ), 4 из к-рых описаны впервые. На примере соединения иттербия по данным рентгенограммы порошка построена модель крист. структуры этого соединения ( $R=6\%$ ).

Резюме

Кристал.  
структура

X. 1987, 19, N 22

~~Na Nb Si O<sub>5</sub>~~

1987

~~Ba<sub>4</sub>Al<sub>2</sub>O<sub>7</sub> и др.~~

10 БЗ088. Двойные оксиды бария и алюминия.  
Ковба Л. М., Лыкова Л. Н., Антипов Е. В., Паро-  
мова М. В., Розанова О. Н. «Ж. неорганич. химии»,  
1987, 32, № 2, 537—539

Исследованы фазовые равновесия в системе BaO—  
Ba<sub>3</sub>Al<sub>2</sub>O<sub>6</sub>. В системе образуются пять индивидуальных  
соединений: Ba<sub>4</sub>Al<sub>2</sub>O<sub>7</sub>, Ba<sub>5</sub>Al<sub>2</sub>O<sub>8</sub>, Ba<sub>7</sub>Al<sub>2</sub>O<sub>10</sub>, Ba<sub>8</sub>Al<sub>2</sub>O<sub>11</sub> и  
Ba<sub>10</sub>Al<sub>2</sub>O<sub>13</sub>. Получены монокристаллы Ba<sub>4</sub>Al<sub>2</sub>O<sub>7</sub>. Опре-  
делены параметры элементарных ячеек соединений  
Ba<sub>4</sub>Al<sub>2</sub>O<sub>7</sub> и Ba<sub>7</sub>Al<sub>2</sub>O<sub>10</sub>. Резюме

$\frac{\text{III}}{\text{IA}}$ ;

Х. 1987, 19, N 10.

$Ba(AlO_2)_2 \cdot nH_2O$

термические  
разложения

X. 1990, N 10.

10 ВЗ. Гидраты алюмината бария. VI.  $2BaO \cdot Al_2O_3 \cdot 5H_2O$  и  $2BaO \cdot Al_2O_3 \cdot H_2O$ . Barium aluminate hydrates. VI.  $2BaO \cdot Al_2O_3 \cdot 5H_2O$  and  $2BaO \cdot Al_2O_3 \cdot H_2O$  / Ahmed A. H. M., Glasser L. S. Dent // J. Chem. Technol. and Biotechnol.— 1989.— 45, № 4.— С. 303—309.— Англ.

Кристаллы алюмината бария состава  $2BaO \cdot Al_2O_3 \cdot 5H_2O$  (I) получены обработкой смеси тв.  $BaO \cdot 9H_2O$  и алюминиевой стружки водой при  $60^\circ C$  в течение 16—32 ч при атм. давл. (мол. отношение  $BaO/Al_2O_3 = 3$ ,  $H_2O/BaO \cdot 9H_2O = 1-2$ ). I образуется также в результате гидротермального синтеза при  $50-150^\circ C$  с использованием  $BaO \cdot Al_2O_3$ ,  $3BaO \cdot Al_2O_3$ ,  $BaO \cdot 9H_2O$  и гиббсита (мол. отношение  $BaO/Al_2O_3$  в синтезах составляло  $\sim 2$ ). Выполнен РФА I, приведены значения  $I, d$  и  $hkl$  рентгенограммы порошка гидрата. Методом ДТА в квазистатич. и динамич. условиях установлено, что дегидратация I осуществляется в 2 стадии. На первой стадии (при  $225^\circ C$ ) удаляется основная масса  $H_2O$ , остатки воды отщепляются в обл.  $500^\circ C$ . Показано, что промежут. продуктом дегидратации I в интервале т-р  $225-500^\circ C$  является моногидрат  $2BaO \cdot Al_2O_3 \cdot H_2O$  (II). Конечным продуктом дегидратации I является

1989

смесь  $\text{BaO} \cdot \text{Al}_2\text{O}_3$  и  $3\text{BaO} \cdot \text{Al}_2\text{O}_3$ . Приведены значения  $J$  и  $d$  рентгенограммы порошка II. Измерены и обсуждены ИК-спектры I и продуктов его дегидратации. Полученные результаты интерпретированы с точки зрения строения гидратов алюминатов бария. Часть V см. // J. Chem. Technol. and Biotechnol.— 1988.— 42.— С. 31—8.

---

Г. П. Чичерина



Ва  $Al_2O_3$  и др

1989

Бакин Д.В., Крайнов  
Ю.И. и др.

Изв-та общ. и меорган. дела  
АИ СССР, М., 1989. 39с.  
Ил. Библиогр.: 27 назв. Рус.  
Деп. в ВУ НИТИ 26.05.89,  
N 3495 - В 89.

(вер.  $\text{CaAl}_2\text{O}_4$  и др.) )

ВаАльДу

1989

3 БЗ138. Сегнетоэлектрические монокристаллы  $\text{BaAl}_2\text{O}_4$  в каркасе тетраэдров  $\text{AlO}_4$ . Особенности условий роста, структура, фазовые переходы и свойства. Ferroelectric  $\text{BaAl}_2\text{O}_4$  single crystals within framework of  $\text{AlO}_4$  tetrahedra: the peculiarities of growth conditions, structure, phase transitions and properties / Ivanov S. A., Busch A. A., Zhurov V. V., Zavodnik V. E., Stephanovic S. Yu., Romanov B. N. // Twelfth European Crystallographic Meeting, Moscow, Aug. 20—29, 1989: Collect. Abstr. Vol. 1 / USSR Acad. Sci.— Moscow, 1989.— С. 548.— Англ.

$\Pi/t_2$

Методами ДТА, ДСК, генерации вторичных гармоник, РФА, пироэлектрич. и диэлектрич. измерениями в диапазоне т-р 120—800 К исследовано фазовое поведение бесцветных призматич. монокристаллов  $(\text{Ba}_{1-x}\text{Sr}_x)\text{Al}_2\text{O}_4$ , полученных кристаллизацией расплава. Соединение с  $x=0$  при  $T_c=400$  К испытывает сегнетоэлектрич. фазовый переход (ФП).  $T_c$  зависит от стехиометрии кристалла. С ростом  $x$   $T_c$  сильно понижается. Низкот-рная фаза имеет полярную симметрию с пр. гр.

X.1990, N3

$R_{63}$ ,  $a$  10,446(1),  $c$  8,797(1) Å. Предложена модель данного сегнетоэлектрич. ФП, основанная на пироэлектрич. измерениях  $t$ -рной зависимости спонтанной поляризации. В соединении с  $x=0$  на  $t$ -рной зависимости термич. расширения обнаружены дополнит. аномалии при 530 и 660 К.

В. А. Ступников

ГФ<sub>2</sub>  
чая

BaAl<sub>2</sub>O<sub>4</sub>

1994

1 6 52212. Структурные, сегнетоэлектрические и пьезоэлектрические свойства нестехиометрических керамик на основе BaAl<sub>2</sub>O<sub>4</sub>. Structural, ferroelectric and pyroelectric properties of nonstoichiometric ceramics based on BaAl<sub>2</sub>O<sub>4</sub>. /Huang Sui-Yang, Von Der Mühl R., Ravez J., Hagenmüller P. //J. Phys. and Chem. Solids. — 1994. — 55, № 1. — С. 119—124. — Англ.

Исследованы плотность сегнето- и пьезоэлектрич. х-ки керамик на основе BaAl<sub>2</sub>O<sub>4</sub> (I). Данные рентгенографии и измерений плотности показывают, что при 300 К они являются нестехиометрич. материалами, содерж. 44,4—50,0 мол.% BaO и являющимися сегнетоэлектриками, аналогично I. При уменьшении содержания BaO т-ра Кюри керамик понижается. Их спонтанная поляризация относительно мала и обнаруживает аномалию — максимум на т-рной зависимости, не сопровождающийся изменениями структуры. Предложена модель для интерпретации сегнетоэлектрич. свойств керамик. В. Л. Лебедев

(T<sub>2</sub>)

х. 1995, № 6

$Ba_3Al_2O_6$

1994

1 16 Б263. Кристаллические структуры  $Ba_3Al_2O_6$ ,  $Ba_{2,33}Ca_{0,67}Al_2O_6$  ( $\equiv Ba_7Ca_2Al_6O_{18}$ ). Die Kristallstrukturen der Erdalkalialuminate  $Ba_3Al_2O_6$ ,  $Ba_{2,33}Ca_{0,67}Al_2O_6$  ( $\equiv Ba_7Cu_2Al_6O_{18}$ ) / Walz L., Heinau M.; Nick B., Curda J. // J. Alloys and Compounds .— 1994 .— 216 , № 1 .— С. 105—112 .— Нем. ; рез. англ.

$Ba_{3-x}Ca_xAl_2O_6$  ( $x=0,3,0,6\dots$ ) получен из карбоната Ba и  $Al_2O_3$  при 1500 °С, далее длительный отжиг. Проведен РСТА  $Ba_3Al_2O_6$  (I),  $\lambda Mo$ , 4220 отражений, R 0,0554. Параметры ромбической решетки:  $a=b=c$  16,5068Å, V, 4497Å<sup>3</sup>, Z 24,  $\rho$  (выч.) 4,98, ф. гр.  $P2_12_12_1$ , M 561,98. Структура близко родственна перовскиту. Важнейший структурный элемент — кольцо из 12 искаженных тетраэдров  $Al_{12}O_{36}$ , сочлененных вершинами и размещенных, как S в кольце  $S_{12}$ . Проведено сравнение структур I,  $Ca_3Al_2O_6$ . В  $Ba_{2,33}Ca_{0,67}Al_2O_6$  атомы Ca занимают полностью 4 из 16 позиций щелочных металлов.

Н. Л. Смирнова

стр-ра



(41)

X. N 16, 1996.

$Ba_7Ca_2Al_6O_{18}$

1995

Ba-β-Al<sub>2</sub>O<sub>3</sub>

24 Б237. Кристаллическая структура материалов Ba-β-гликозема для высокотемпературного каталитического окисления. The crystal structure of Ba-β-alumina materials for high-temperature catalytic combustion / Groppi G., Assandri F., Bellotto M., Cristiani C., Forzatti P. // J. Solid State Chem. — 1995 — 114, № 2 — С. 326—336. — Англ.

Изучена структура и дефектная природа образцов Ba-β-Al<sub>2</sub>O<sub>3</sub>, синтезированных соосаждением с помощью карбонатов. Метод соосаждения позволяет получить образцы Ba-Al-O со слоистой структурой β-Al<sub>2</sub>O<sub>3</sub> в интервале Al/Ba=9—14. Ритвельдовским структурным уточнением показано образование различных структур β-Al<sub>2</sub>O<sub>3</sub> в зависимости от отношения Al/Ba: β<sub>II</sub>-Al<sub>2</sub>O<sub>3</sub> для наименьшего отношения Al/Ba=9 и β<sub>I</sub>-Al<sub>2</sub>O<sub>3</sub> для наибольшего отношения Al/Ba=14. Между этими составами при Al/Ba=12 фаза характеризуется структурой, промежуточной между β<sub>I</sub> и β<sub>II</sub>. Хорошее согласие между рас-

X. 1995, №24

считанными и литературными значениями параметров решетки, углов и длин связей подтверждает корректность структурных моделей. Однофазный только образец состава  $Al/Va=12$ . В случае  $Al/Va=14$  присутствует 2%  $\alpha-Al_2O_3$ , в случае  $Al/Va=9$ —2%  $VaAl_2O_4$ . Предложен механизм формирования  $\beta$ -фаз диффузией ионов  $Va$  в плотно упакованные кислородные плоскости  $\gamma-Al_2O_3$ . В этой схеме — промежуточная фаза  $Va-\beta_I\beta_{II}-Al_2O_3$ , существующая при  $Al/Va=12$ , указывает на однородность концентрации  $Va$  в кристаллитах. Ф. М. Спиридонов



Вз  $\text{Al}_2\text{O}_3$

Вз  $\text{Al}_2\text{O}_3$

Мабанова Г.Н.

Refractories Industrial Ceram.,

v. 44, №4, с. 25-30

v. 45, №1, с. 254-259

2003

2004

F: Ва3(AlO4)H

P:  $\bar{1}$

02.06-1952.78. Гидрид оксоалюмината бария. Barium oxoaluminate hydride / Zumdick Markus, Althoff Gerhard, Rohr Caroline // Acta crystallogr. C. - 57, N 4. - С. 339-340. - Англ.

Структура  
Реакцией смеси ВаН[2] и оксида алюминия (корунда) в молярном отношении 6: атмосфере Ar выращены монокристаллы Ва[3](AlO[4])H (I) и при 293 К выполн РСТА. Кристаллы I ромбич., ф. гр. Pnma; a 10,4889, b 8,1503, c 7,2440 А; 'ро' (выч.) 5,406; R 0,029 для 810 независимых отражений. Кристаллическая структура I типа Ва[3]SiS[5] состоит из анионов AlO[4]{5-} и H{-}, раздел компенсирующими заряд катионами Ва{2+}. Атомы Al находятся в искаженных тетраэдрах (Al-O 1,750-1,780 А). Все кислородные лиганды координированы 5 катионами и 1 катионом Al в искаженной октаэдрической геометрии. Гидридны ионы локализованы в центрах искаженных октаэдров из катионов Ва (Ва-Н 2,80-2,98 А). Октаэдры [HВа[6]] соединены общими вершинами в трехмерный к [HВа[6/2]], соответствующий частной структуре типа перовскита [TiO[6/2]]. Координационные числа катионов Ва{2+} по оксидным и гидридным ионам равны 8-9.